

第二屆和平利用原子能國際會議文獻

反應堆物理學與 研究用反應堆

4

中國科學院原子核科學委員會編輯委員會編

科學出版社出版

核能与研究用反应堆 (4)

編委會編輯委員會編

核能出版社
北京市书刊出版局
（北京朝阳门大街 117 号）
邮出字第 061 号

中国科学院印刷厂印刷 新华书店总经售

*

1961 年 4 月第一版 书号：2334 字数：99,000
1961 年 4 月第一次印刷 开本：787×1092 1/16
(京) 0001—6,000 印张：4 1/4

定价：0.54 元

目 录

P/2185 几个新的及經過改装的研究性热中子反应堆	(1)
PFT 反应堆中子通量的增加及實驗可能性的扩大	(3)
試驗性輕水浓縮鈾反应堆 (BBP-2) 的改装	(15)
重水反应堆 (TP) 的改装	(22)
功率为 2000 瓦的沉入型試驗反应堆 (ИРТ)	(28)
热中子通量 10^{14} 中子/厘米 ² ·秒的研究性反应堆 (BBP-M)	(46)
輻射化学研究专用反应堆 (BBP-LI)	(54)

几个新的及經過改装的研究性热中子反应堆*

岡恰洛夫(B. B. Гончаров)等

研究性反应堆在进行对許多科学技术部門有重要意义的實驗工作中用作中子源。这些反应堆广泛地被利用在下列一些研究工作中：原子核物理，反应堆工艺，新的动力反应堆或實驗性反应堆释热元件的各种样品在設計参数下进行試驗，各种材料在射綫作用下的輻射損害，同位素生产，中子衍射照相，輻射化学，生物，医学及其他方面的研究。

各种研究性反应堆具有不同的类型和結構。反应堆的功率視其用途之不同而从几十瓩到几万瓩。

为进行广泛范围的物理研究、同位素生产、生物及医学研究用的反应堆，功率約在一、二千瓩，中子通量約 10^{13} 中子/厘米²·秒，即已足够了。这样的反应堆比較簡單，造价也不高。

为試驗材料、释热元件及进行其他一系列研究用的反应堆，必須具有大得多的功率。为滿足这个要求，就要建造结构复杂的高功率反应堆。在建造这类反应堆时，都应力求提高单位重量裂变物质的比功率及反应堆活性区单位体积的比功率，以得到較高的热中子和快中子通量強度。这就是說，反应堆的尺寸應該是不大的。但是反应堆尺寸只能減小到一定限度，否則就会限制释热元件样品在反应堆活性区工作管道內进行試驗的可能性，因为元件样品与实物大小差不多，而工作管道占反应堆活性区很大的体积。

在現代的这种类型的反应堆中，热中子通量差不多达到 10^{14} 中子/厘米²·秒。但是对于某些研究而言，甚至于这样的通量也还是不够，所以在个别情况下建造中子通量为 10^{15} 中子/厘米²·秒的反应堆。

苏联建造了几种类型的研究性反应堆：

- 1) 物理与技术研究用反应堆，功率 10,000 瓩，活性区中心最大热中子通量 8×10^{13} 中子/厘米²·秒(PФT)。
- 2) 實驗性輕水、浓縮鈾反应堆，功率 300 瓩，平均热中子通量 2×10^{12} 中子/厘米²·秒(BBP—2)。
- 3) 研究性原子核反应堆，功率 2,000 瓩，最大热中子通量 2.5×10^{13} 中子/厘米²·秒(BBP—C)。
- 4) 物理試驗性重水反应堆，功率 500 瓩，活性区中心热中子通量 2.2×10^{12} 中子/厘米²·秒(TP)。

在 1955 年第一次和平利用原子能国际會議上已作过关于这些反应堆的报告。

由于新的任务的产生，要求大大地扩展研究工作的面。許多准备进行的試驗，只能在强中子通量的反应堆中才能实现。为了解决这些問題，就对部分已經运行的反应堆进行改装，同时建造一些新的反应堆。

* “第二届和平利用原子能国际會議文献”編號 A/CONF/15/P2185，苏联，原文为俄文。

下面是反应堆改装后的一些主要結果：

1) РФТ 型反应堆改装后, 最大热中子通量增加到 $1.8 \cdot 10^{14}$ 中子/厘米²·秒; 根据不同的活性区形状, 功率可能达到一万五至二万瓦。为改装的反应堆曾制造了新结构的、带有 90% 浓缩燃料的释热元件。由于后备反应性的增加, 使反应堆能在 25 个释热元件而不是 37 个释热元件的情况下工作, 这样在活性区就空出 12 个管道, 可供試驗用。

2) BBP-2 型反应堆改装后, 在不更換燃料, 增加裝載量仅 30% (由中毒决定)的情况下, 保証功率可以提高十倍, 即达到 3,000 瓦, 最大热中子通量达 4×10^{13} 中子/厘米²·秒。

3) 試驗性重水反应堆(TP)的功率提高到 2,500 瓦, 活性区中心热中子通量达 $2.5 \cdot 10^{12}$ 中子/厘米²·秒。反应堆負荷采用 2% 浓缩燃料的环形的释热元件。

在改装現有反应堆的同时, 建造了几种新型的研究性反应堆:

1) 浸入型反应堆: 功率 2,000 瓦, 最大热中子通量 $3.2 \cdot 10^{13}$ 中子/厘米²·秒(ИРТ)。反应堆具有結構簡單的特色。反应堆活性区放置在水池底部, 水是慢化剂, 也是反射层与上部防护屏蔽。反应堆冷却系統水的循环, 用噴射器来保証。侧面防护屏蔽由 0.5 米水及 1.8 米重混凝土組成。設有 11 个水平管道及一系列垂直管道供研究用。

2) 研究性反应堆(BBP—M), 功率 10,000 瓦, 热中子通量 $1 \cdot 10^4$ 中子/厘米²·秒。反应堆的功用是: 生产比放射性的同位素, 取得超铀元素, 进行中子物理学方面的研究, 研究中子流与 γ 射線对材料的作用, 进行中子衍射照相实验及其他研究。

反应堆活性区周围有金属铍的反射层。在反射层中有 9 个水平管道可引出中子束, 11 个垂直管道为照射样品用。

3) 辐射化学研究专用反应堆(BBP—I), 功率 10,000 瓦, 最大热中子通量 $1 \cdot 10^4$ 中子/厘米²·秒。

反应堆有可能进行如下工作: ①研究各种系統在射線作用下的物理化学过程; ②研究新的方法及已知化学过程在射線作用下的強化; ③半工业規模的辐射化学过程; ④研究射線对固体, 半导体材料的影响; ⑤活化分析; ⑥研究射線作用下金属与合金的腐蝕及电化学。

为进行試驗工作, 反应堆設有 12 个迴路, 10 个水平与 20 个垂直管道, 石墨热柱。

改装的与新建的研究性反应堆的主要指标, 列于表 1。

表 1

反应堆	堆內 铀-235量 (公斤)	活性区高度 (毫米)	燃料浓缩度 (%)	慢化剂	功率 (瓦)	比功率 (瓦/公斤铀-235)	最大热中子通量 (中子/厘米 ² ·秒)
РФТ	5.5	1020	90	石墨, 水	至20000	3640	$1.8 \cdot 10^{14}$
BBP-2	4.5	500	10	水	3000	650	$4 \cdot 10^{13}$
TP	5.0	1200	2	重水	2500	500	$2.5 \cdot 10^{13}$
ИРТ	4.0	500	10	水	2000	500	$3.2 \cdot 10^{13}$
BBP-M	4.0	500	20	水	10000	2500	$\sim 1 \cdot 10^{14}$
BBP-I	5.0	500	20	水	10000	2000	$\sim 1 \cdot 10^{14}$

本报导中并不涉及研究性快中子和中能中子反应堆以及各种专门性的反应堆。

下面就是关于改装后的 РФТ, BBP-2 及 TP 反应堆以及新建的 ИРТ, BBP-M 及 BBP—I 反应堆的叙述。

RFT 反应堆中子通量的增加及实验可能性的扩大

岡恰洛夫(В. В. Гончаров) 尼古拉耶夫(Ю. Г. Николаев)
阿姆巴尔楚姆揚(Р. С. Амбарцумян) 格魯荷夫(А. М. Глухов)
巴布連維奇(Е. Н. Бабулевич)

引 言

自从功率为 10,000 瓦的物理与技术研究用反应堆(RFT)投入生产后(1952 年 4 月), 在反应堆上进行的试验工作量不断增加。特别是技术研究, 首先是新型结构的释热元件在堆回路中的试验, 它的工作量增加得特别快。同时对中子通量值的要求也增长了。因此开始感到反应堆后备反应性的不足。很清楚, 在最近将来, 对某些释热元件要进行试验时, 对中子通量值的要求将会超出反应堆的可能, 即使在活性区中心部试验, 也无济于事。由于这些原因, 就决定根据已拟订的局部改装计划, 来改进反应堆。

计划规定尽可能地增加后备反应性, 提高反应堆功率到 20,000 瓦, 提高中子通量, 以满足试验释热元件的要求。计划是这样制订的, 即是利用更换释热元件或计划检修时正常停堆的时间, 来实现计划, 而力求停堆时间减至最低限度, 即是说, 实际上反应堆的正常运行不停止。

已完成的反应堆改装工作, 以及达到的新的物理的和技术的性能, 叙述如下*。

反 应 堆 改 装 计 划

1) 增加活性区水的容积含量, 同时增加铀-235 的浓度, 以得到反应堆后备反应性的很大增长。反应堆中用来冷却释热元件的水是处于工作管道内部的, 要增加水的容积含量, 必须加大工作管道的直径。反应堆的结构允许管道直径自 54 毫米增加到 75 毫米。在这样尺寸的管道里, 决定放置新结构的释热元件。释热元件应该尽可能少地排挤管道内的水量, 为了补偿水对中子吸收的增加, 新结构释热元件应该比旧结构元件含有更多的铀-235。

2) 要增加中子通量, 需要提高反应堆功率。这就必须使新释热元件具有尽可能大的热交换面。可以指望, 实现了使反应堆反应性增加的措施, 会导致临界质量与工作装载量的减小, 结果中子通量应该比功率增长得更多。

3) 由于使用了具有极度发展的热交换面的释热元件, 为保证反应堆功率到 20,000 瓦的工作, 不考虑冷却系统第一回路(包括热交换器)结构的改变, 认为只要改变回路的工作状况就足够了。但是在这种情况下, 为了避免因冷却水温度增加而引起的热交换器内盐类的沉积, 有必要使第二回路密闭, 而补充装置一个热交换器, 使第二回路水的热量传给

* 在进行这些工作中, 下列同志作了重要贡献: 弗罗洛夫(И. П. Фролов), 日格乔夫(В. М. Жигачев), 夏夫洛夫(П. И. Шавров), 且尼西柯夫(А. И. Денисиков), 切尔伐促夫(А. А. Червяцов), 普希宁(Б. Т. Пушнин)等。

第三迴路的水。

4) 增加反应堆的反应性,促使活性区临界体积减小,以空出相当数量的工作管道供实验用。

新的释热元件

制造新的释热元件成为反应堆改装计划实现的基础。根据物理、热工计算,对释热元件提出了下列一些要求:

- 1) 新元件热交换面应该比旧元件的结构大7倍。
- 2) 使用新元件时,活性区水的含量应该增加3.5倍。
- 3) 新元件铀含量应该比旧元件多1.5倍。
- 4) 新元件应该用浓缩度为90%的铀。

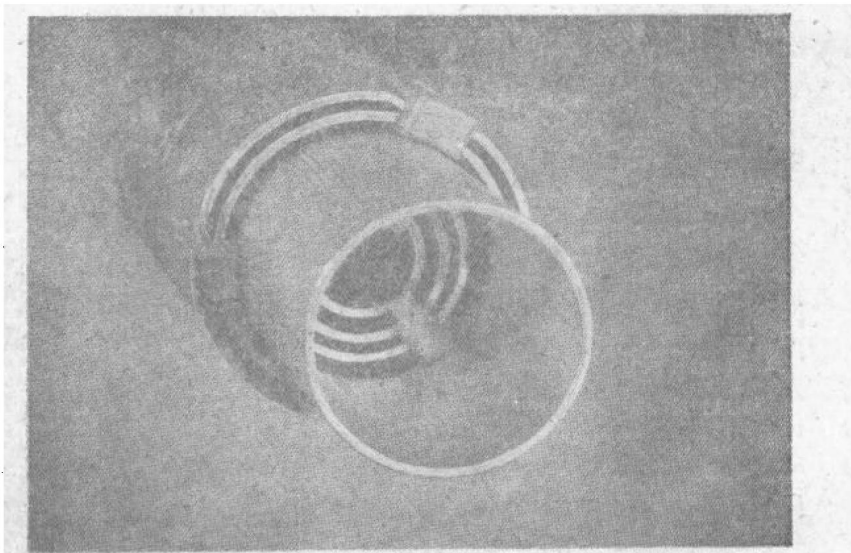


图1 释热元件全貌

根据这些要求设计了释热元件,其结构见图1、2。元件由六个同心薄壁管组成。管壁的释热层由二氧化铀和铝(稀释剂)制成,用铝复盖。壁厚总共为2毫米,铝复盖层每边厚0.65毫米。释热元件活性部分长1020毫米。元件的第三个管使载热剂在工作管道内分流,成为“费利达”管的形式。释热元件的外部薄壁管中,冷却水由上往下流,而内部则由下往上流。

薄壁管由上部及下部齿块沿三条互成 120° 角的母线固定距离。薄壁管与上部齿块是固定住的,在下部齿块处,留有相互位移的自由度。齿块上的凸缘保证释热元件在工作管道内的间隔。

在每一释热元件中都含有340克铀-235,每一立方米热交换表面平均分得200克铀-235。

沿新元件的轴线可以放置样品,样品是盛在外径16毫米的铝管内。部分地也使用五管的释热元件,沿着这种释热元件的轴线,可以放置盛于外径25毫米的铝管内的样品。

如果试验样品要在反应堆工作过程中取出,那么在释热元件内部放置封闭的铝管。

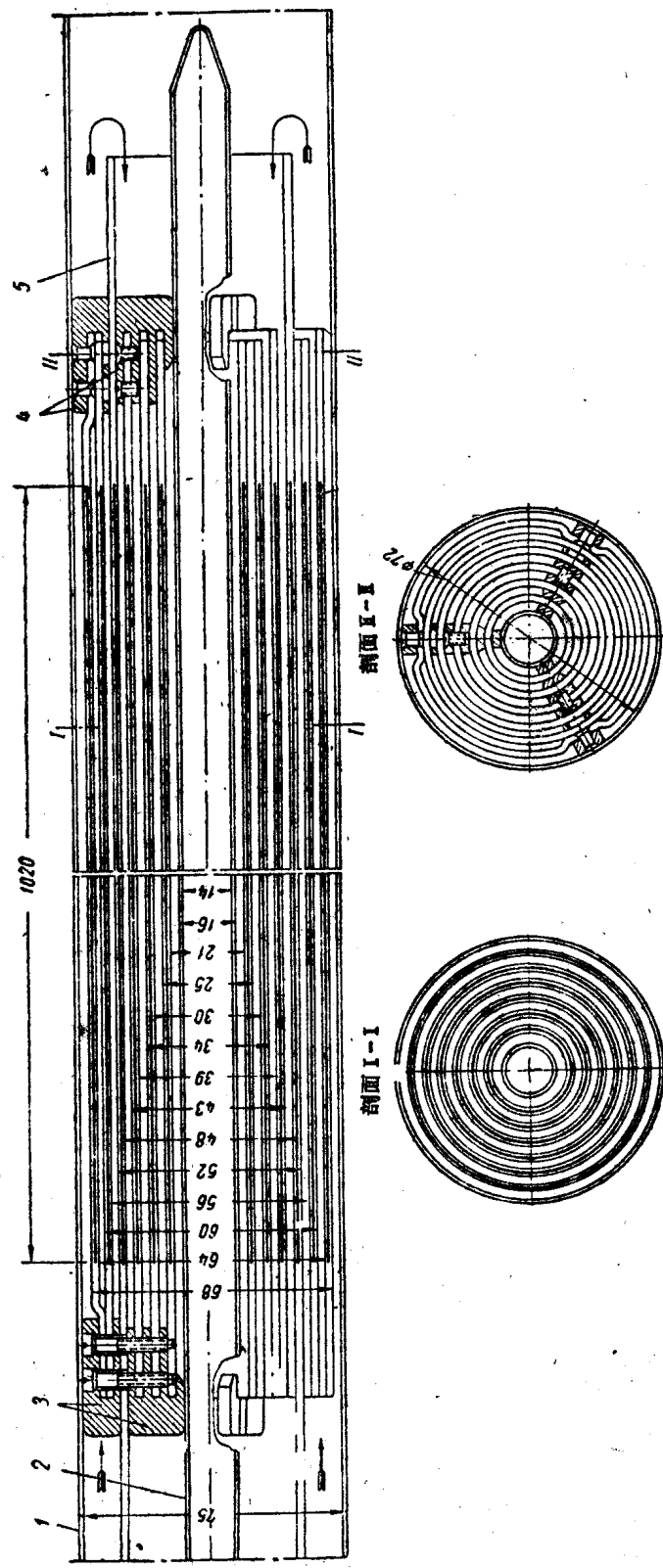


图 2. 镶热元件图
1. 工作管道的管子， 2. 放置受照射样品的管子， 3. 上部定位齿块， 4. 下部定位齿块，
5. 镶热元件的镶嵌热分流的管子， 载热剂流动方向见箭头所示

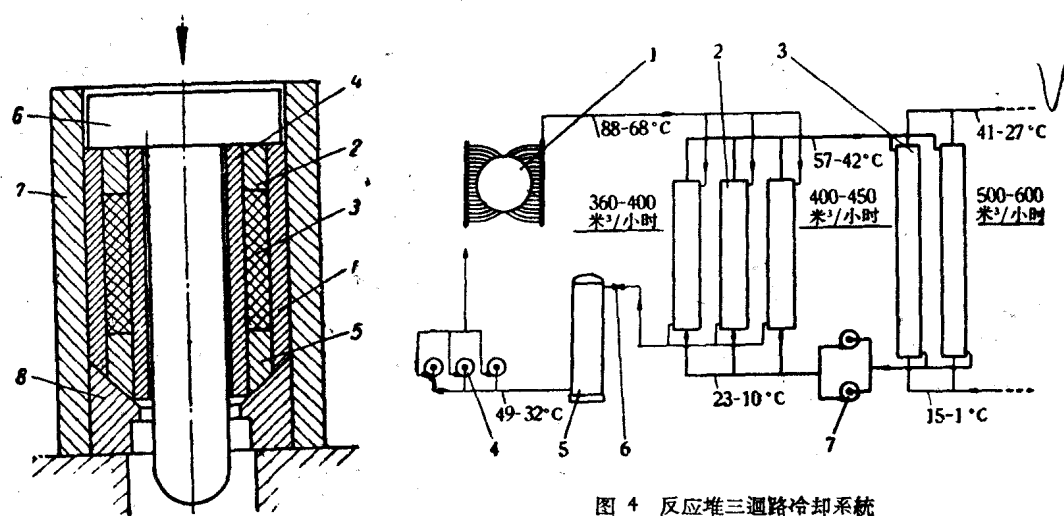


图 3 压制释热元件用的小包
1. 外壳, 2 及 5. 塞子, 3. 金属陶瓷芯部,
4. 内壳, 6. 针, 7. 容器, 8. 模子.

图 4 反应堆三迴路冷却系統
1. 反应堆, 2. 第一迴路与第二迴路間的热交換器,
3. 第二迴路与第三迴路間的热交換器, 4. 第一迴路水泵,
5. 除气器, 6. 水节流閥門, 7. 第二迴路水泵.

不裝載試驗樣品時，沿釋熱元件軸線放置外徑為 16 或 25 毫米的鋁管，即挤压器，部分冷卻釋熱元件的水以很小的速度在管內流通（圖 5）。

擬訂了兩種製造新元件的工藝。

根據最初工藝方案，首先製成鋪蓋鋁層的釋熱板，然後由板製成有縫的管子。

根據初始工藝，製造元件的主要操作如下：

由鋁粉及 90% 浓縮鈾的二氧化鈾粉用熱壓方法製成金屬陶瓷餅，然後挤压成條——進一步壓輾的胚料，而後裝配為熱壓用的小包，小包由二個鋁板組成。在一個鋁板上專門開了凹穴，凹穴內很緊地裝入金屬陶瓷條，蓋上第二層鋁板，這樣製得的小包在前後兩邊緣用鋁鉚釘鉚接，而後進行熱壓，然後是幾次冷壓，直到給定大小。

壓輾的工況是這樣選擇的，即足以保證小包各組成零件接觸面之間良好的全面的焊接。在確定活性部分的位置界限後，剪切薄板的邊，到制管所需的尺寸。薄板捲成管子，用氬弧焊接縱向焊縫。焊接後的管子進行拉伸，對它的尺寸和形狀進行不大的修正，以達到圖的要求的尺寸。由製成的管子裝配釋熱元件。管子彼此間的位置固定是通過定位齒塊用鋁螺釘實現的。

第二種工藝方案在於熱挤压三層無縫管*。

用鋁粉及二氧化鈾粉的混合物用熱壓方法製成壓管所需的胚料。由這胚料用熱挤压方法製得金屬陶瓷厚壁管，厚壁管切成所需尺寸的胚料。

用純鋁製造金屬陶瓷管外面和內面的蓋層的胚料。進一步裝配壓制用的小包。小包的示意圖見圖 3。裝配好的小包熱壓成三層管。壓制工況及條件是這樣選擇的，即足以保證陶瓷芯在鋁壳內的全面密封。壓成的三層管進行拉伸，修正其尺寸到給定大小。確定活性部分的界限後，切去管子的端部。經過檢驗後管子就送去裝配，裝配的方法和第一

* 這個工藝方案由高爾尼洛夫 (Д. Д. Корнилов)，涅日汝哥 (Л. Б. Нежевенко)，賽明甲也夫 (Д. С. Семенцов)，柯伐辽夫 (А. И. Ковалев) 等與索哥洛夫 (Д. Д. Соколов) 共同研究出來的。

方案的一样。

用同样的工艺制造了研究性反应堆 BBP—M 及 BBP—II 的六角形的释热元件。

反 应 堆 冷 却

为了保证反应堆在 20,000 瓦功率工作，设计并建造了三回路的冷却系统（图 4）。这样就可以改变第一回路的工作状况，而不必要改装第一回路，从而避免了有辐射危险性的工作，不间断反应堆正常运行。

当第二、第三回路的建造完成后，新的冷却系统就在一次反应堆正常停堆的时候，投入了运行。

反应堆功率的提高要求通过活性区载热剂流量的增加。第一回路设备中有三台循环泵，在以前的工况下，只有两台工作，在新的工况下，所以三台泵都投入工作。

从前差不多水泵压头的三分之二是在通过节流阀门 6 时（图 4）损失的。这是为在活性区形成 11 大气压的水压所必须的，因为旧结构释热元件表面温度达到 160℃。

新释热元件是这样计算的，即它的表面温度不超过 140℃，所以活性区水压可以减至 6 个大气压。在这个压力下，水的沸点比释热元件壁温高 18℃。

新释热元件允许活性区水压降低，所以就没有必要节流，回路水阻也减小得很多。除此之外，带有新释热元件的管道（图 5）比旧的具有较小的水阻，因为载热剂流通截面无论在活性区部分或活性区以外都加大了。

回路水阻的大大减小以及新管道内水阻的减小，就可以通过第三个泵的投入运转，而使第一回路的水量增加到如图 4 所示之值 360—400 米³/小时。

由于物理参数的改变，活性区临界体积大为减小。

反应堆在 20—25 个释热元件的情况下工作，根据试验的性质，功率为 15,000—20,000 瓦；而从前，反应堆的装载为 35—37 个旧结构元件，功率为 10,000 瓦。

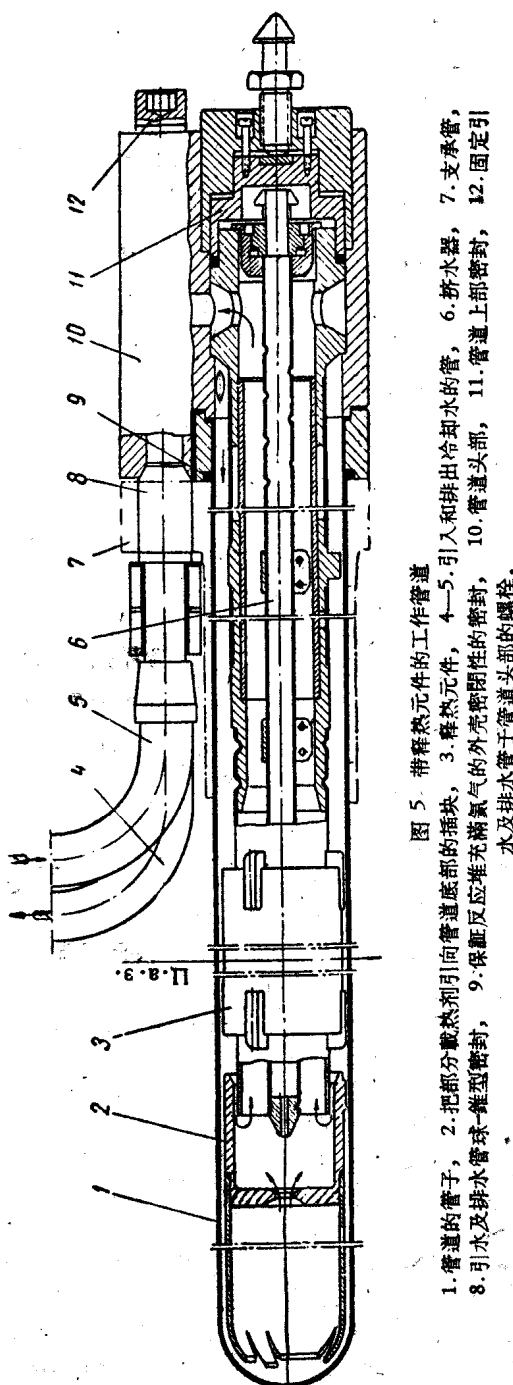


图 5. 带释热元件的工作管道
1. 管道的管子, 2. 把部分载热剂引向管道底部的插块, 3. 释热元件, 4—5. 引入和排出冷却水的管, 6. 拼水器, 7. 支承管, 8. 引水及排水管球形密封, 9. 保压反应堆充氮气的外壳密闭性的密封, 10. 管道头部, 11. 管道上部密封, 12. 固定引水及排水管于管道头部的螺栓。

工作管道数量減少使分到每个释热元件的水流量增加，这比之于仅仅因第一迴路总流量提高而得到的增加要大得多。

采取了所有措施的結果，使通过一个带有释热元件的工作管道的最大水流量，跟以前相比增加到 2.4 倍，达到 $14.5 \text{ 米}^3/\text{小时}$ 。因此从每个新結構释热元件取得的功率可达 1,000 瓦。而最大热通量只有 $0.85 \times 10^6 \text{ 千卡}/\text{米}^2 \cdot \text{小时}$ 。

在三个并联的热交換器中第一迴路水把热传給第二迴路水。每个热交換器由六段串联而成。热交換器工作状况改变后，可以使传热量增加一倍。

热交換器沒有热膨胀补偿器，制造时采用了管子在管板內最簡單型的压軋，在压軋处的允許負荷为每毫米管子周边 4 公斤。

虽然由于废除了水的节流，水压产生的应力減小了，但仍因为热应力的緣故，当管子与边缘間温差为 25°C 时，即达到允許負荷。因此当第一迴路水流量为 360 — $400 \text{ 米}^3/\text{小时}$ ，第二迴路水流量为 400 — $450 \text{ 米}^3/\text{小时}$ ，在热交換器一段的范围内，介质間的温差不應該超过 32°C 。在热交換器內第一迴路水在管間空間流动，第二迴路水在管内流动。

当反应堆功率为 10,000 瓦时，热交換器是在平均对数温差为 17°C 的情况下运行的，因为在第一迴路的两个水泵都工作的情况下，第一迴路与第二迴路的水流量差別很大，各为 $250 \text{ 米}^3/\text{小时}$ 与 $400 \text{ 米}^3/\text{小时}$ 。在新的工作状况下，第一迴路与第二迴路中水的流量都增加了，而它們之間的差別減小了。流量差別減小就可以在热交換器一段范围内介质間平均温差不超过 32°C 的条件下，大大地提高平均对数温差。

同时由于水的流量及温度在第一、第二迴路中均有增加，热交換器內的传热系数也有些提高。

在释热最强的管道出口处水温超过 100°C 被认为是不期望的，所以在夏季，进入反应堆活性区水的温度增加，反应堆只可能在低于 18,000 瓦的功率下工作。这段时期不超过日曆時間的 30%。在 70% 的日曆時間內反应堆以 20,000 瓦功率工作的可能性是保証的。

图 4 表明冷却系統在不同季节及不同反应堆功率（15,000 及 20,000 瓦范围内）情况下，流量及温度变化的范围。

甚至在夏天，第三迴路进口水温不会超过 15°C 。是这样得到的：对流水（其温度有时达到 25°C ）混合一部分温度 8 至 10°C 的井水。

反应堆鋼壳工作状况

反应堆密封鋼壳（图 6）內容納石墨砌体，砌体充满氮气，以改善石墨散热。自从 1953 年发生事故后，鋼壳底部冷却蛇形管损坏，尽管采取了措施，鋼壳工作状况变得很吃力。

发生事故后，为了冷却底部，反应堆工作管道加长了，从前它并不穿入下部石墨反射层。尽管如此，底部中心温度仍然比鋼壳圓柱套筒和底部焊接处的温度高出几十度。結果套筒內的应力略高于屈服点。这在反应堆以 10,000 瓦功率工作时是允許的，但是阻碍了功率的提高。

为了检查底部温度，两个反射层冷却管道及一个靠近活性区、从前放調節棒（图 7）的管道内装置了热电偶。

为了減少底部的释热，反应堆活性区向上移动了 200 毫米，是把悬掛释热元件的管子

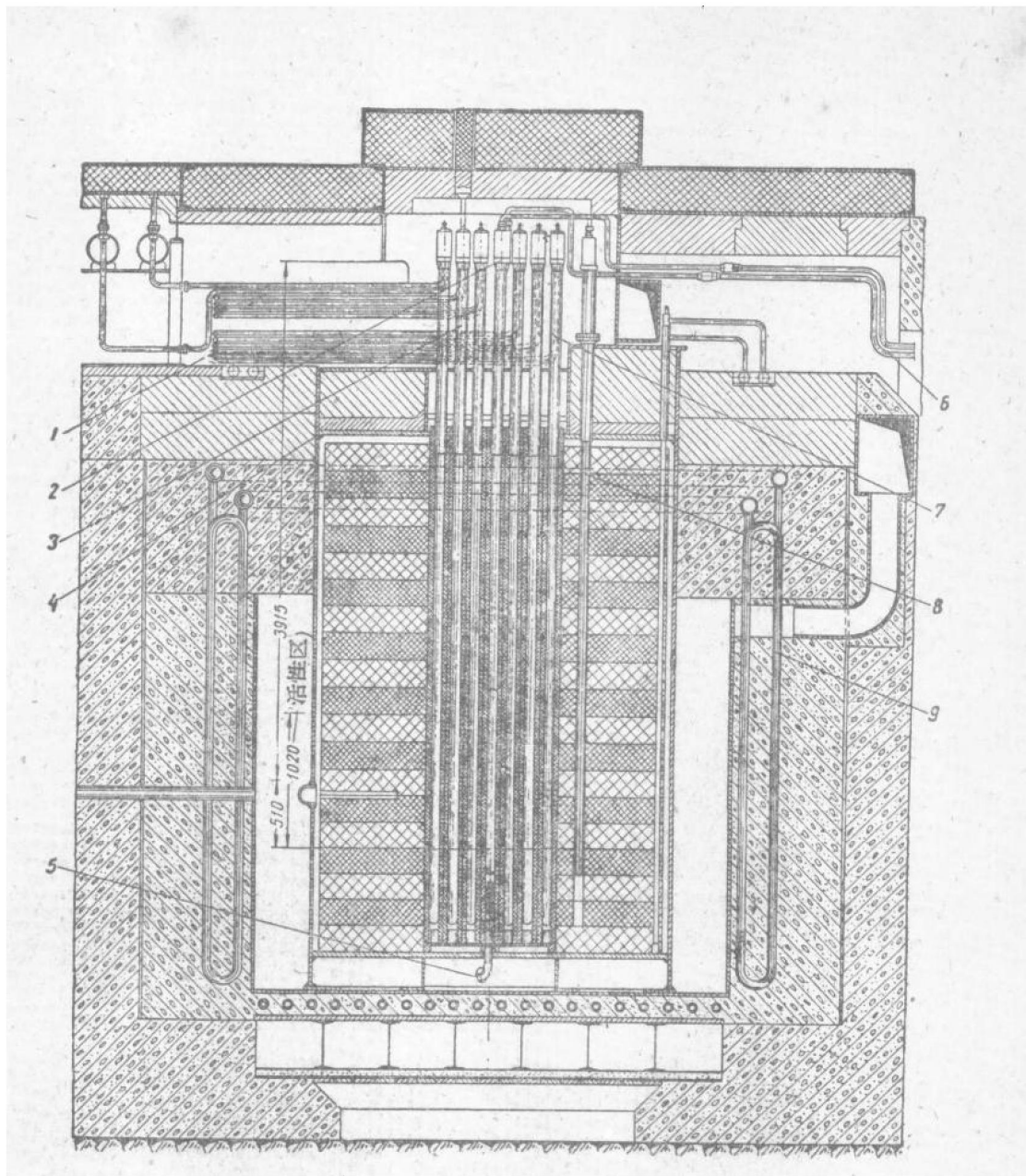


图 6 物理与技术研究用反应堆纵截面

1. 工作管道的进水及出水，
2. 回路的中心管道，
3. 反应堆工作时卸照射样品的工作管道，
4. 钢壳，
5. 氧气循环管，
6. 回路管道的载热剂引入与排出管，
7. 支承管，
8. 反射层内回路管道，
9. 反射层冷却管道

缩短了些。这样反应堆功率虽提高，而钢壳套筒内的应力减小了。

功率增加时沿套筒高度温度梯度的增加曾经引起不安，但计算结果表明，由此产生的补加热应力，其值不大。

反应堆新的物理性能

向新释热元件的过渡是逐步实现的：开始往活性区装一个新结构元件，在这个元件中铀-235按高度平均燃耗达到45%，而在元件中心燃耗为55%。以后反应堆中心区管道

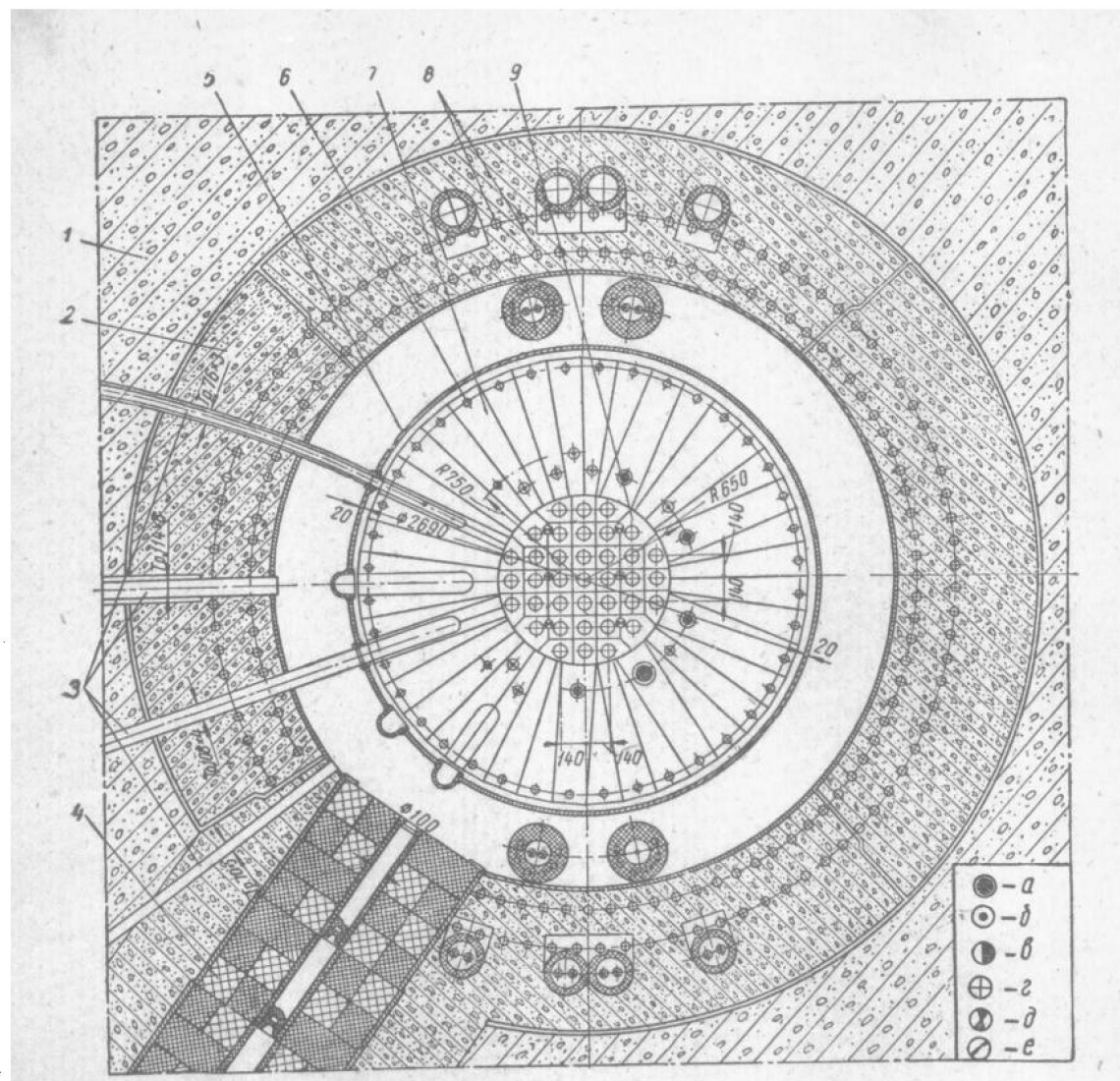


图 7 物理与技术研究用反应堆水平截面

a. 反射层内迴路管道, b. 垂直試驗管道, c. 自動調節棒, d. 事故保護棒, e. 手動調節棒, f. 溫度測量及測量反應堆外殼底部的熱電偶管道, 1. 普通混凝土屏蔽, 2. 重混凝土屏蔽, 3. 水平試驗管道, 4. 热柱, 5. 反應堆殼, 6. 反射層冷卻管道, 7. 反射層石墨塊, 8. 屏蔽冷卻蛇形管, 9. 活性區石墨塊

內裝入第一組新釋熱元件一共 10 個，在新舊釋熱元件混合裝載的情況下，反應堆功率提升到 13,000 瓦。由於反應堆徑向中子場不均勻度的加劇，每個新釋熱元件上取得的功率達到 1,000 瓦。用這樣的辦法，在反應堆沒有完成改裝前，新的釋熱元件已經在當反應堆功率為 2,000 瓦時他們將工作的這種狀況下進行了試驗。

在第一批釋熱元件的幾個元件中鈾-235 按高度平均燃耗深度達 45% 以後，所有舊結構的釋熱元件從反應堆取出，補裝了新元件，而反應堆功率逐漸增加到 15,000 至 20,000 瓦。

反應堆中有 37 個裝釋熱元件的垂直管道，在改裝前，35 個以上的管道是被釋熱元件占了。當第一次全用新結構釋熱元件組成的活性區時，18 個具有不同程度燃耗的釋熱元件即達到了臨界。這個裝載量為 4.7 公斤鈾-235，因為裝載燃料中的平均燃耗已經是 23%。18 個釋熱元件具有從零到 45% 等不同的平均燃耗深度，而燃耗大的元件處於堆的中心區。

反应堆改装前的计算表明，反应堆临界质量相当于 12 至 16 个新释热元件的装载量。前已提到，第一次装载量为 18 个平均燃耗为 23% 的元件，根据这个试验数据估算，临界质量为 4 至 4.4 公斤铀-235（即 12 至 13 个释热元件）。

装载时释热元件先装在活性区边缘区的管道，经过燃烧而后移装中心区。

当功率为 20,000 瓦时，装载 23 至 25 个释热元件，在释热元件中达到最大热中子通量。这时按释热元件的平均燃耗在 30 至 35% 范围内，而活性区的中心区元件按高度的平均燃耗约为 45%。在这些条件下，工作装载量为 5.5 公斤铀-235。

当中心管道功率为 1,000 瓦时燃料最大负荷为 5.5 瓦/克铀-235。这个最大负荷相当于释热元件上的热中子通量 1.85×10^{14} 中子/厘米²·秒（中子气体温度 500°K）。

反应堆最大可能热中子通量为 4×10^{14} 中子/厘米²·秒，这是在不装释热元件而是灌满水的中心管道内（图 8）。

释热元件功率为 1000 瓦时，在它的中心（那里进行样品照射）能量大于 0.5 百万电子伏的快中子通量达到 6×10^{13} 中子/厘米²·秒。

根据所进行试验的性质的不同，反应堆工作装载量也有变化，其最大值为 6.5 公斤铀-235。

下面是改装后活性区的特性：

1) 活性区体积水占部分	0.117
2) 活性区体积石墨占部分	0.76
3) 活性区物质总慢化能力中水的慢化能力所占百分比	77%
4) 中子年龄	140 厘米 ²
5) 热中子扩散长度平方	27 厘米 ²
6) 增殖系数	1.68
7) 活性区高	102 厘米
8) 活性区临界体积	250 立升
9) 临界质量	约 4.2 公斤铀-235

虽然活性区工作体积减小了 30%，但释热元件中燃料燃耗增加了很多。在以前，用 10% 浓缩铀制成的旧结构的释热元件，当按高度平均燃耗量达 33 至 35% 时就应该从活性区取出，而现在，新释热元件是在按高度平均燃耗量达 45 至 50% 时才卸走。

反应堆新的试验能力

根据设计，在建造 PFT 反应堆时，除了石墨反射层中的水平试验管道外，考虑了为

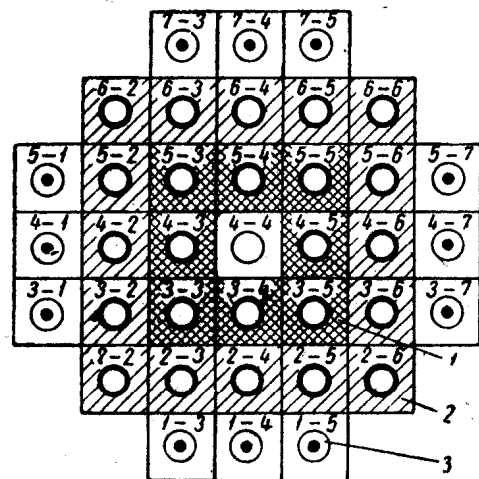


图 8 保证在充水的中心管道内达到热中子通量 4×10^{14} 中子/厘米²·秒的装载

1. 燃料燃耗为 40—50% 的区域，2. 燃耗不超过 40% 的区域，3. 试验管道

試驗目的及布置反應堆操縱設備用的垂直管道。在半徑 650 毫米圓周上開有 11 個垂直管道。其中 5 個直徑為 130 至 70 毫米，是為反應堆迴路中試驗釋熱元件用。在其他 4 個直徑為 75 至 50 毫米管道中，進行各種樣品的照射。這些管道用反應堆冷卻迴路水冷卻。其餘兩個管道為事故保護棒所占。

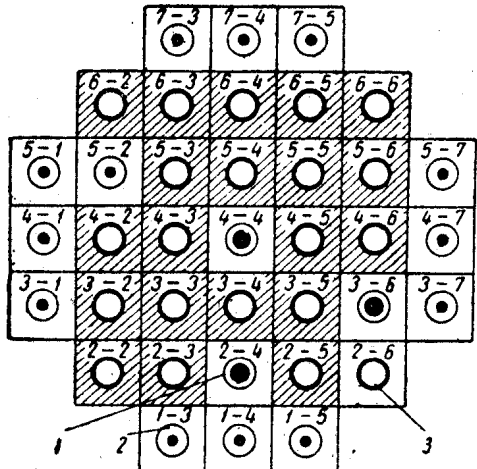


圖 9 活性區內有三個迴路管道的反應堆裝載
1.迴路管道，2.試驗管道，3.帶有釋熱元件的管道

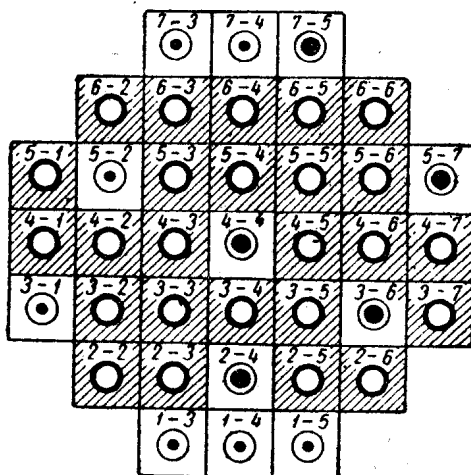


圖 10 具有 5 個迴路管道的反應堆裝載

在半徑 750 毫米圓周上有 4 個垂直管道，為布置反應堆操縱設備用。兩個管道直徑 63 毫米，放置啟動游離室；其餘兩個直徑 32 毫米，放置自動調節棒。

反應堆本身及某些試驗迴路的改裝結果，不論在量的方面還是質的方面，都大大提高了試驗能力。現在，在試驗釋熱元件時，不但可以利用反射層中的垂直管道，而且可以利用活性區內包括中心管道在內的 5 個管道（圖 7, 9, 10）。同時，有些試驗迴路可以把三個管道平行地包括到一個迴路中來。

由於對反應堆操縱的改進，空出了三個管道以滿足試驗需要：二個在反射層，一個在反射層與混凝土屏蔽之間的低中子通量區。這些管道從前為游離室所占用。

除了反應堆試驗迴路中試驗用的管道外，許多從前為反應堆本身的釋熱元件所占的管道現在也用來考驗釋熱元件的樣品及照射各種材料（圖 11）。

這些管道大部分是用反應堆冷卻迴路水冷卻的。

除此之外，還利用了釋熱元件中心部分，來製造比放射性的同位素及在強快中子通量下照射材料。需要照射的樣品在特制的管子內沿釋熱元件的軸線放置。

這樣，反應堆新的試驗能力綜述如下：

- 1) 11 個垂直管道可以用来進行迴路試驗。
- 2) 15 個垂直管道可以用来考驗釋熱元件樣品及照射各種材料。
- 3) 反應堆 15 至 20 個釋熱元件的中心部分，可以製造同位素及在強快中子通量下照射材料。

在試驗性反應堆上可以考驗新建反應堆的釋熱元件。甚至於當元件的每克鈾-235 的單位熱負荷大大地超過反應堆本身釋熱元件的最大單位熱負荷時，也可以進行考驗。只要增加受考驗的釋熱元件模型的鈾-235 的容積濃度，即可以達到這一

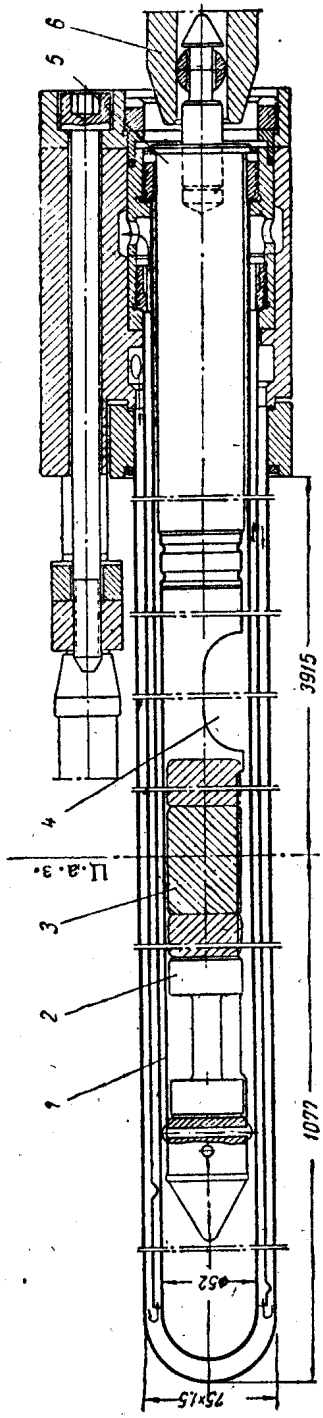


图 11 脱射材料用的垂直試驗管道
1.装有受照射样品的管子，2.为在“热”室内每样品用的推杆，3.受照射的样品，4.卸样品用的槽，5.管道屏蔽塞，6.上部屏蔽塞

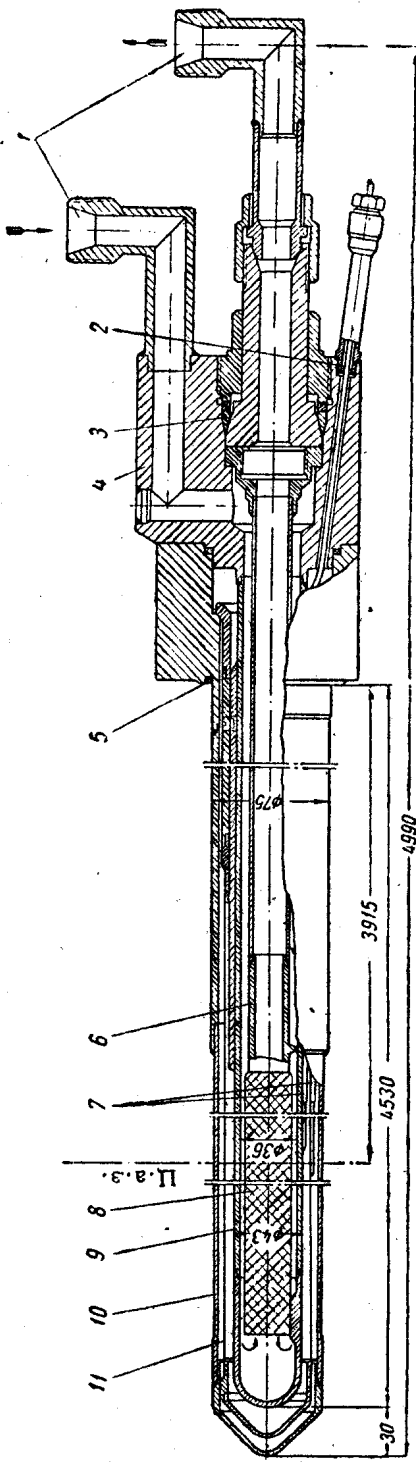


图 12 通路管道
1.載熱剂引入与排出，2.熱電偶出口，3.密封，4.保証反應堆充滿氮氣的外壳密閉性的密封，6.悬掛受考驗的釋熱元件的管子，7.熱電偶，8.釋熱元件，9.通路管道的管子，10.外部密閉熱屏，11.內部熱屏

点。估計这个因素,改装以后的 PFT 型反应堆可以考驗在工作条件下单位热負荷达到 12 瓦/克铀-235 的释热元件。

在 PFT 型反应堆中亦进行中能中子和快中子反应堆的释热元件的考驗。当然,在这种情况下仅仅模拟了单位面积热負荷及元件的温度应力。

例如在充满水的中心管道内就进行了研究性反应堆的片状释热元件的考验，这个研究性反应堆是用作强的快中子通量源，而它的中央水腔用作高的热中子通量源。它的释热元件热交换面的热负荷，达到 5×10^6 千卡/米²·小时。

这样大的热负荷，由于释热元件片单位热交换面的铀-235 含量很高，才模拟成功。

放置待试验的释热元件的回路管道是不锈钢或铝合金制成的。当待试验的释热元件要求极高的中子通量，或是因试验条件的关系不锈钢管道机械强度不够时，采用铝管道。

这种在有些情况下因机械强度的关系，不锈钢管的利用受到某种难以相信的限制，是由于反应堆石墨砌体温度大大升高的结果。比如在堆芯中心考验释热元件，冷却水温度达 300°C，受考验的元件热功率很高时，周围石墨温度达到 1000°C。

当管道直径与石墨孔道直径很近时，通过辐射和充满氮气缝隙的热传导，产生很大的从石墨往管道的热通量，这就在管壁引起热应力，补加于静应力之上。为减少热应力，采用了薄壁钢屏，而它与管道之间的缝隙充以氮气（图 12）。有时这些措施也不够，于是就采用铝管道，因为从产生热应力观点看来，铝具有较好的机械性能。

活性区石墨中产生的热量通过氮气缝隙传向反应堆管道。在每个管道功率为 1 千瓦时，通过面向管道的石墨表面的热通量，达到 $0.25 \cdot 10^6$ 千卡/米²·小时。

反应堆操纵的改进

因试验工作量增加，采取了措施，使反应堆反射层中放置调节棒和游离室的垂直管道空出几个来。这方面工作的结果，给反应堆操纵带来下列改进和改变：

1) 拆卸了位在离活性区中心 650 毫米的反射层中两个管道内的事故保护棒。空出来的管道为试验目的用。位于活性区中心区的两个调节棒替代拆卸的棒作事故保护用，它们同时起着自己原来的作用。这是利用电磁解器来实现的，它能保证棒从工作行程内的任何位置自由落入活性区。

2) 启动游离室从反射层管道移至反射层与混凝土屏蔽间的管道。因此在离活性区中心 750 毫米处反射层中的两个管道空出来了，可为试验目的用。利用高度补偿 γ 辐射本底游离室*作为启动用。尽管从活性区移走了启动游离室，当向临界状况趋近时，次临界反应堆功率的必要控制是保证的。

3) 采用了直径比从前小的游离室，这样就可以把它们成对地放在一个管道内。结果在反射层和混凝土屏蔽间的低中子通量区，空出了一个管道，可以为实验之用。启动游离室转移到另一个类似的管道去了。

结 论

物理与技术研究用反应堆(PFT)改装后，取得下列结果：

- 1) 反应堆功率增至 15,000 到 20,000 瓦。
- 2) 单位热负荷提高到 5.5 瓦/克铀-235，由此释热元件中热中子通量增加到 1.85×10^{14} 中子/厘米²·秒。
- 3) 在充满水的中心管道内，取得 $3-4 \cdot 10^{14}$ 中子/厘米²·秒的热中子通量。
- 4) 回路中考验释热元件、照射材料及其他目的用的垂直试验管道的数量增加了几倍，这些再加上已取得的指标，就大大地扩大了反应堆的试验能力。

* 详细地关于这些游离室见功率为 2,000 瓦的浸入型研究性反应堆(IPT)的报告。